

# HCC

## EVOLUZIONE DELLA TECNOLOGIA ECOGRAFICA

### Giovanni Turtulici

*SS di Ecografia Interventistica*

Ospedale Evangelico Internazionale - GE - Castelletto

*SC di Diagnostica per Immagini ed Ecografia Interventistica  
( Dir. Enzo Silvestri)*

[www.oeige.org](http://www.oeige.org)



S.C. Diagnostica per Immagini ed Ecografia Interventistica – Ospedale Evangelico Internazionale - Genova



**OSPEDALE EVANGELICO INTERNAZIONALE**

### Il Nodulo Epatico dalla Diagnosi ... alla Terapia

Con il  
patrocinio  
della

**Sede del Corso:** Sala Conferenze, Biblioteca Civica Rosanna Benzi di Genova Voltri - Piazza Odicini, 10

**Data:** 21 settembre 2013

**Giornate previste:** 1 **Partecipanti:** Medici di Medicina Generale, Medici, Infermieri, Tecnici Sanitari di radiologia medica

#### Programma

08.30 - 8.45 Registrazione dei partecipanti

08.45 - 9.00 Saluto delle Autorità

#### I Sessione Ezioptogenesi - Epidemiologia Clinica

Moderatori: Dott. Giulio Antonio Cecchini, Dott. Enzo Silvestri

09.00 - 9.15 Dall'epatopatia cronica all'HCC

Dott. Luca Anselmi

09.15 - 9.30 La gestione del paziente ambulatoriale

Dott. Giuseppe Fabio Stellini

09.30 - 9.45 Inquadramento clinico e percorso diagnostico

Dott. Gianfranco Percario

#### II Sessione Diagnostica con Immagini

Moderatori: Dott. Giulio Antonio Cecchini, Dott. Enzo Silvestri

09.45 - 10.30 Ecografia - TC - RM

Dott. Giulio Bergamaschi, Dott. Massimo De Lorenzi

10.30 - 10.45 Evoluzione della tecnologia ecografica

Dott. Giovanni Turtulici

10.45 - 11.15 Coffee Break

#### III Sessione Terapia dell'HCC

Moderatori: Dott. Giulio Antonio Cecchini, Dott. Enzo Silvestri

11.15 - 11.30 Terapie ablative percutanee

Dott. Giovanni Turtulici

11.30 - 11.45 L'appuccio chirurgico

Dott. Enzo Andorno, Dott. Giuliano Bottino

11.45 - 12.00 La chemio-embolizzazione

Dott. Giovanni De Caro

12.00 - 12.15 Quando la terapia medica

Dott. Gianfranco Percario

12.15 - 12.45 Condivisione fra i relatori del percorso

diagnostico e terapeutico

Introduce il Dott. Giuseppe Pilotti

#### IV Sessione Tavola rotonda dal medico di medicina generale allo specialista ospedaliero

12.45 - 13.00 Approfondimento da parte dei relatori del percorso

diagnostico e terapeutico

13.00 - 13.15 Chiusura dei lavori

13.15 - 13.30 Strumento di valutazione del livello di apprendimento

Per informazioni rivolgersi alla segreteria organizzativa - Tel 010/5522.379  
La scheda di iscrizione deve pervenire alla segreteria entro e non oltre il 3 settembre 2013  
Il corso è in fase di accreditamento ECM



#### Responsabile Scientifico

Dott. Giulio Antonio CECCHINI

Direttore S.C. Diagnostica per Immagini

Ospedaliere OEI

Dott. Enzo SILVESTRI

Direttore S.C. Diagnostica per Immagini

ed Ecografia Interventistica OEI

#### Segreteria Scientifica

Dott. Giuseppe PILOTTI

Dirigente Medico Resp.

S.S. Radiologia d'Urgenza

ed Emergenza OEI

Dott. Giovanni TURTULICI

Dirigente Medico Resp.

S.S. Ecografia Diagnostica ed Interventistica OEI

#### Docenti

Dott. Enzo ANDORNO

Dirigente Responsabile UOS Chirurgia Trapianto  
di Fegato IRCSS A.O.U. San Martino - IST

Dott. Luca ANSELMI

Dirigente Medico Responsabile S.S. Dipartimentale  
Citolisi ed Istologia a prevalente indirizzo territoriale

C.I. Miconi e Sez. Ponente - ASL 3 "Genovese".

Dott. Giulio BERGAMASCHI

Dirigente Medico Resp.

S.S. Radiologia Oncologica OEI

Dott. Giuliano BOTTINO

Dirigente Medico presso UOS Chirurgia Trapianto  
di Fegato IRCSS A.O.U. San Martino - IST

Prof. Giovanni DE CARO

Dirigente U.O. a Direzione Universitaria di Radiologia  
Vascolare e Interventistica presso l'E.O. Ospedali Galliera

Dott. Massimo DE LORENZI

Dirigente Medico OEI

Dott. Gianfranco PERCARIO

Dirigente Medico Responsabile S.S. Gastroenterologia OEI

Dott. Giuseppe PILOTTI

Dirigente Medico Resp.

S.S. Radiologia d'Urgenza ed Emergenza OEI

Dott. Giuseppe Fabio STELLINI

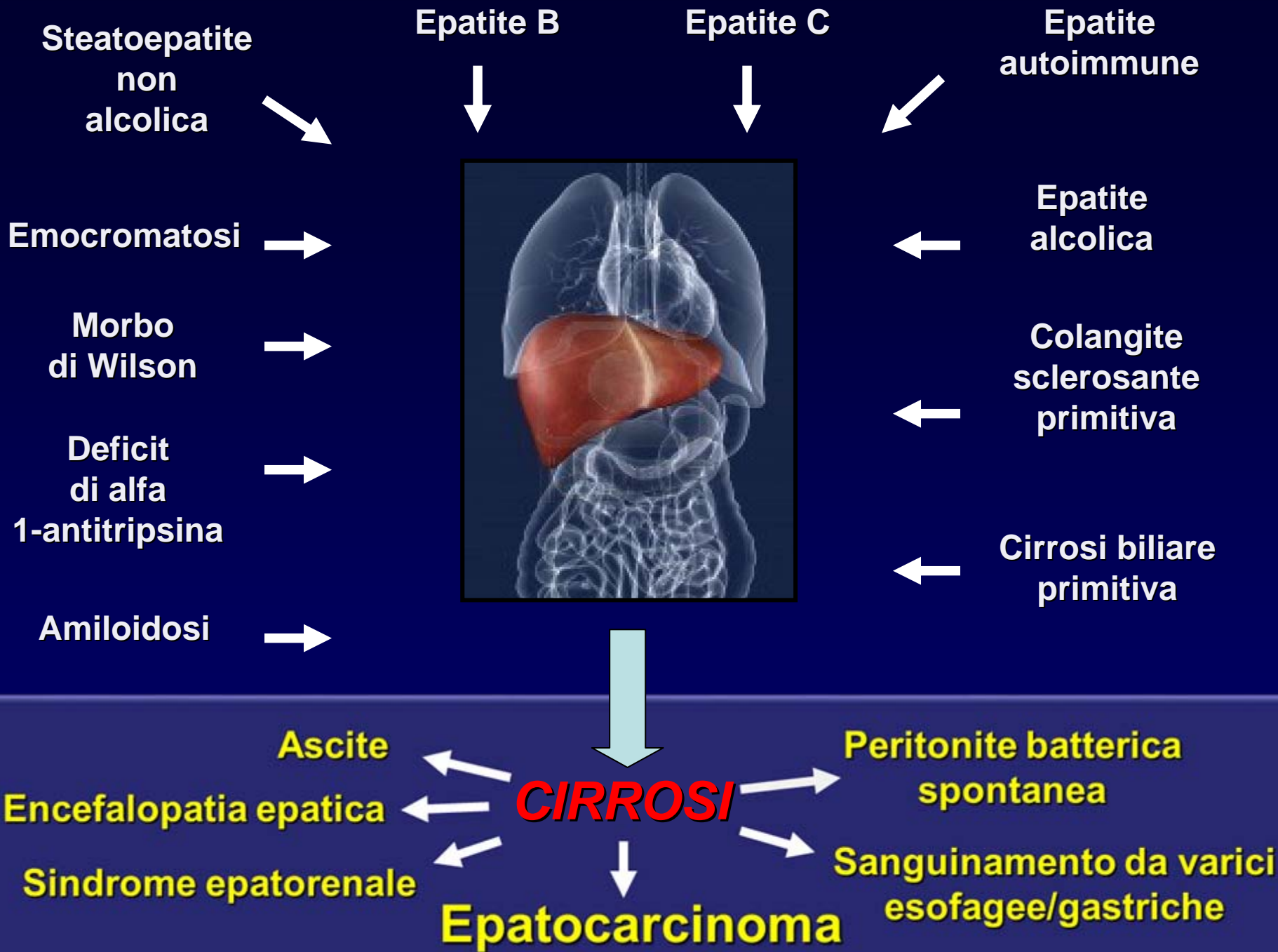
Medico di Medicina Generale

Dott. Giovanni TURTULICI

Dirigente Medico Resp.

S.S. Ecografia Diagnostica ed Interventistica OEI





# **IMAGING**

---

- RX DIRETTO ADDOME
- ECOGRAFIA
- TC
- RM
- ARTERIOGRAFIA SELETTIVA
- DIAGNOSTICA RADIOISOTOPICA

# ECOGRAFIA

## IMAGING DI I LIVELLO NELLA PATHOLOGIA ADDOMINALE

- a) Basso costo
- b) Diffusa
- c) Veloce esecuzione
- d) No Radiazioni

**TROPPO OPERATORE DIPENDENTE !?**

# ULTRASOUND



B-MODE

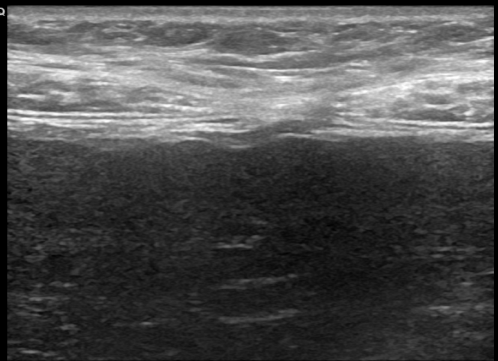


Image source: Siemens Healthineers

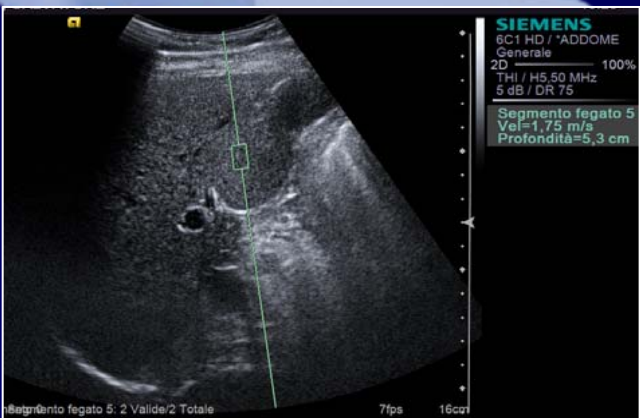
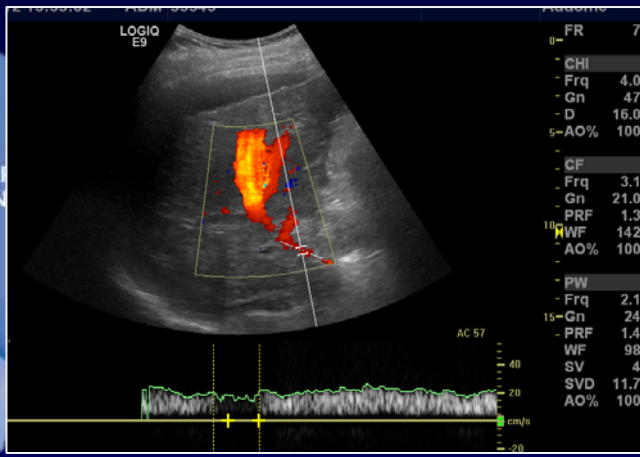
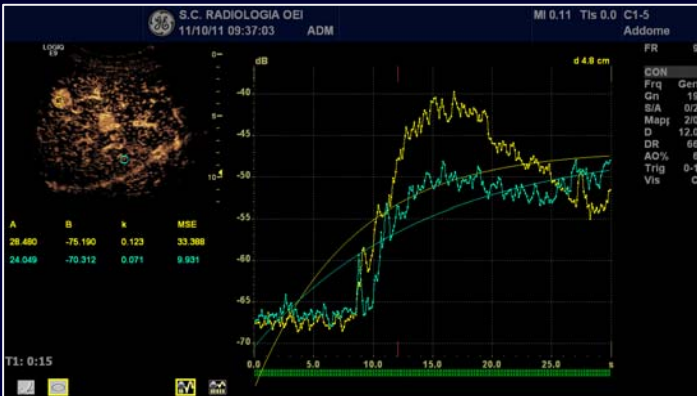
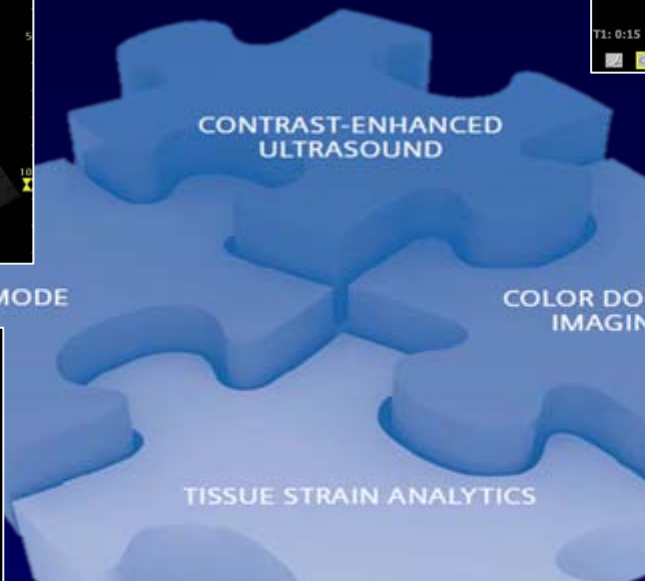


Image source: Siemens Healthineers

## Diagnostic Accuracy of Imaging for Liver Cirrhosis Compared to Histologically Proven Liver Cirrhosis

A Multicenter Collaborative Study

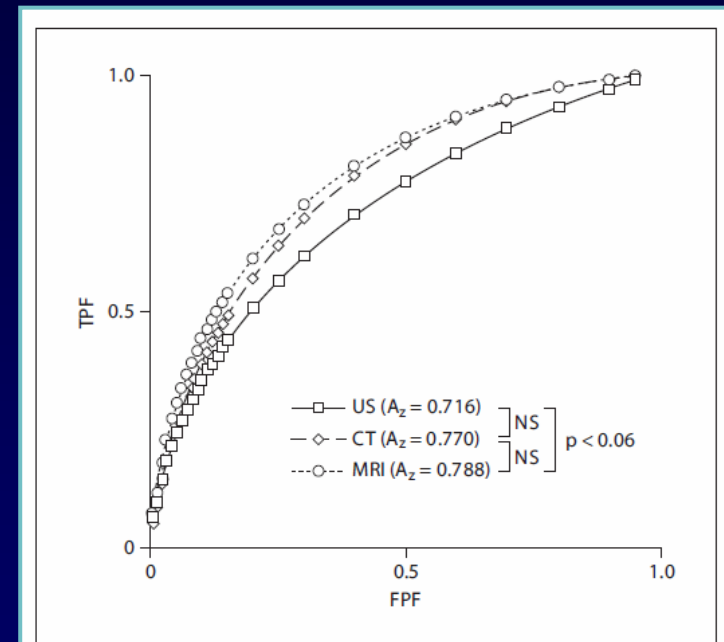
Masatoshi Kudo<sup>a</sup> Rong Qin Zheng<sup>b</sup> Soo Ryang Kim<sup>g</sup> Yoshihiro Okabe<sup>c</sup>  
Yukio Osaki<sup>c</sup> Hiroko Iijima<sup>e</sup> Toshinao Itani<sup>f</sup> Hiroshi Kasugai<sup>d</sup>  
Masayuki Kanematsu<sup>i</sup> Katsuyoshi Ito<sup>j</sup> Norio Usuki<sup>h</sup> Kazuhide Shimamatsu<sup>k</sup>  
Masayoshi Kage<sup>k</sup> Masamichi Kojiro<sup>k</sup>

**Table 2.** Results of logistic regression: imaging finding categories versus pathological diagnosis for LC and CH

Selected independent variables	B	Odds ratio (95% confidence intervals)	p value
<b>US</b>			
Irregular and nodular surface	1.039	2.827 (1.123–7.118)	0.027
Blunt edge	0.985	2.677 (1.004–7.138)	0.049
Morphological changes	0.292	1.333 (0.996–1.799)	0.053
<b>MRI</b>			
Parenchymal abnormalities	1.003	2.726 (1.469–5.060)	0.001
Manifestations of portal hypertension	0.486	1.626 (1.119–2.363)	0.011
Morphological changes	0.280	1.323 (1.094–1.599)	0.004
<b>CT</b>			
Irregular and nodular surface	1.979	7.238 (2.572–20.369)	0.000
Parenchymal abnormalities	1.331	3.786 (1.288–11.129)	0.016
Manifestations of portal hypertension	0.321	1.379 (1.050–1.811)	0.021
Morphological changes	0.212	1.236 (1.043–1.465)	0.015

VARIABILITÀ INTEROSSERVATORE NOTEVOLMENTE RIDOTTA SE SI USA STESSO APPARECCHIO E STESSE MODALITÀ DI MISURAZIONE PER I VARI PARAMETRI:

PBV - VELOCITA MEDIA PORTALE  
ANGOLO <55 O MENO  
PRF 4 kHz  
FILTRO PARETE 100Hz  
MEDIA DI ALMENO 3 MISURAZIONI

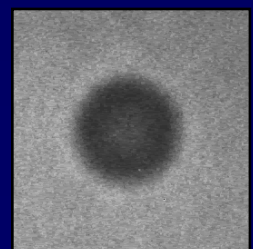
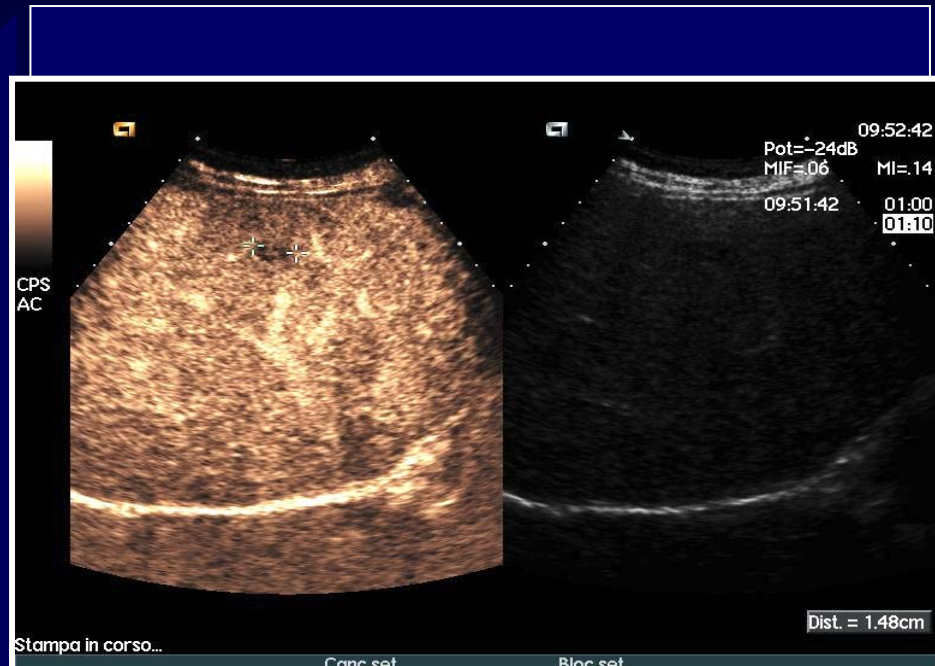
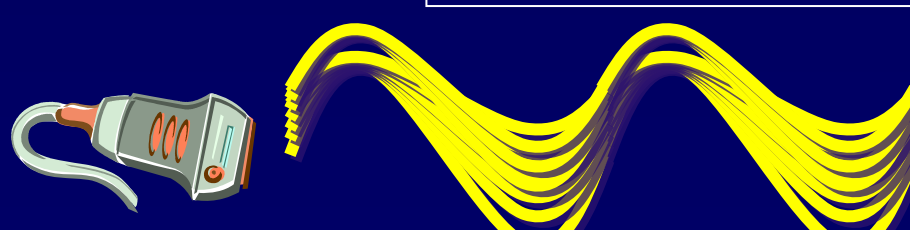


**Fig. 4.** ROC analysis shows no statistical difference between MRI, CT and US in the differentiation of LC from CH.

L.BOLONDI *et al.*  
HEPATOLOGY 1995 Feb;21(2):428-33

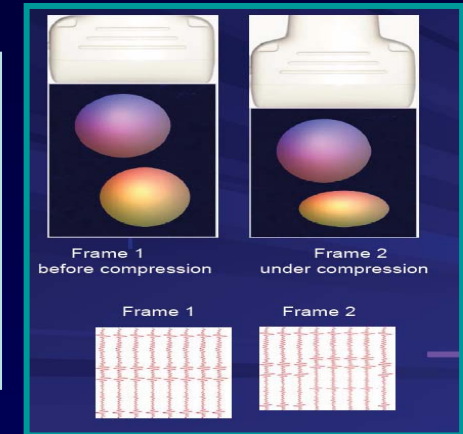
# CEUS

- TIPIZZAZIONE
- 
- PERFUSIONE
- TEMPI DI TRANSITO



# SONOELASTOGRAPHY

## REAL TIME TISSUE SONOELASTOGRAPHY

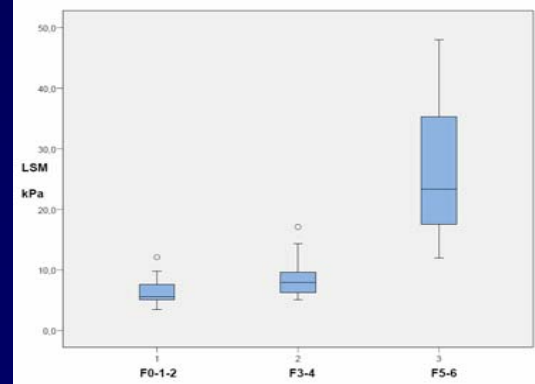
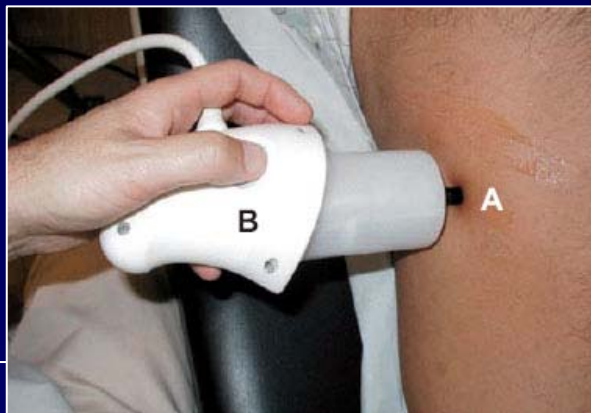
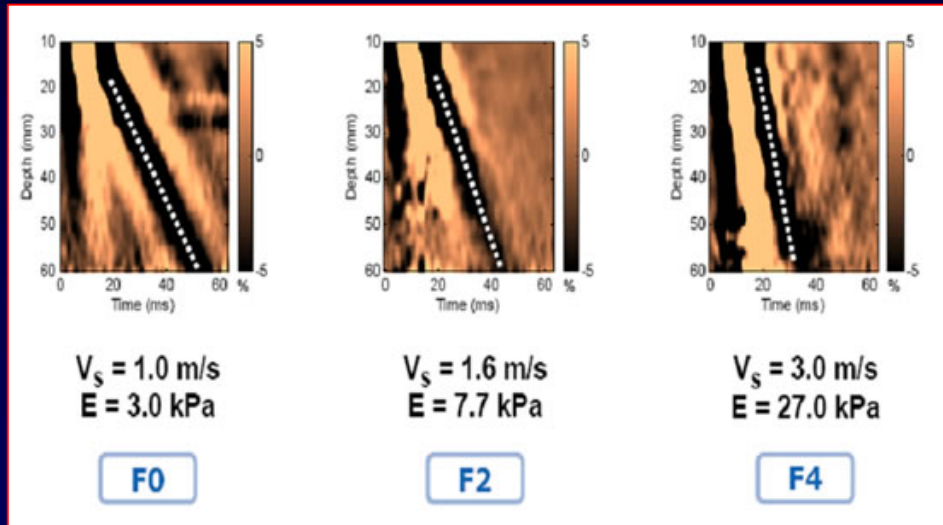


## - SHEAR WAVE ELASTOGRAPHY

- SSI
- ARFI
- FIBROSCAN



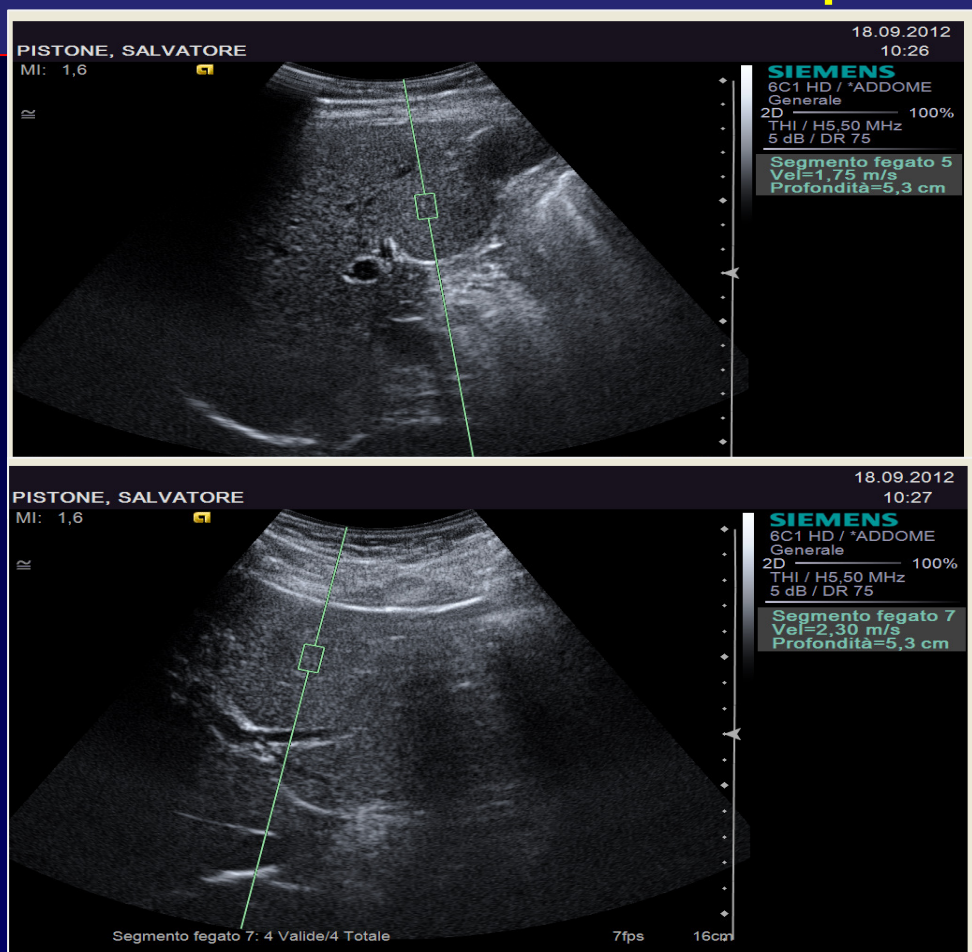
# FIBROSCAN



# ARFI Acoustic Radiation Force Impulse



Segmento fegato 4A		Segmento fegato 4B		Segmento fegato 5		Segmento fegato 6	
Vel (m/s)	Profondità (c)	Vel (m/s)	Profondità (c)	Vel (m/s)	Profondità (c)	Vel (m/s)	Profondità (c)
2,79	5,5	1,59	6,2	1,43	3,4	1,29	4,5
2,48	5,4	4,57	6,2	1,45	7,6	1,21	4,0
				1,75	5,3		
Mediano	2,64		3,08	1,45		1,25	
Media	2,64		3,08	1,54		1,25	
Dev std	0,22		2,11	0,18		0,06	
IQR	0,31		2,98	0,32		0,08	
Segmento fegato 7		Segmento fegato 8		Segmento fegato 9		Segmento fegato 10	
Vel (m/s)	Profondità (c)	Vel (m/s)	Profondità (c)	Vel (m/s)	Profondità (c)	Vel (m/s)	Profondità (c)
1,97	7,0	1,67	6,7	1,68	6,0	1,61	5,3
1,14		8,0		0,97	8,0	1,68	
1,68		6,0		2,30	5,3	1,61	
0,97		8,0				1,68	1,57
2,30		5,3				1,61	1,57
Mediano	1,68		1,57	1,68		1,61	
Media	1,61		1,57	1,61		1,68	
Dev std	0,56			0,56		0,56	
IQR	1,07			1,07		1,07	
Statistiche globali							
Mediano	1,69	Dev std	0,90	Mediana	1,68	Dev std	0,90
Media	1,68	IOR	1,01	Media	1,68	IOR	1,01



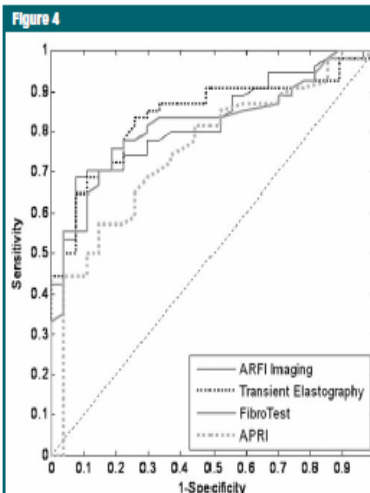
$$F1=1,2 \text{ m/s} \quad F2= 1,4 \text{ m/s} \quad F3= 1,6 \text{ m/s} \quad F4= 1,8 \text{ m/s}$$

$$\text{ARFI} = \text{m/sec}$$

YOUNG'MODULE: E=3XV2 (KPa)

# Liver Fibrosis in Viral Hepatitis: Noninvasive Assessment with Acoustic Radiation Force Impulse Imaging versus Transient Elastography<sup>1</sup>

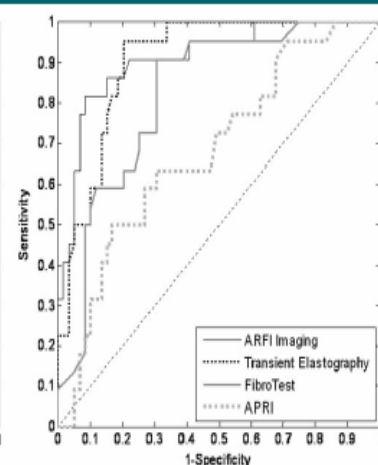
# ARFI



**a.**  
Figure 4: Receiver operating characteristic curves for ARFI imaging—, TE—, FibroTest—, and APRI-based diagnoses of (a) moderate fibrosis (stage  $\geq$  F2) and (b) cirrhosis (stage F4).

602

[radiology.rsna.org](http://radiology.rsna.org) • Radiology: Volume 252, Number 2—August 2009



**Table 3**

ARFI Imaging Cutoff and Performance Values for Diagnosis of Metavir Fibrosis Stage

Value	Stage $\geq$ F2 (F2, F3, F4)	Stage $\geq$ F3 (F3, F4)	Stage F4
<b>All patients</b>			
Cutoff ARFI velocity (m/sec)	1.37	1.45	1.75
Sensitivity (%)	80.0 (64.4, 89.5)	83.9 (66.3, 94.5)	81.8 (67.1, 94.8)
Specificity (%)	92.6 (75.7, 99.1)	86.0 (73.3, 94.2)	91.5 (81.3, 97.2)
PPV (%)	94.9 (82.7, 99.4)	78.8 (61.1, 91.0)	78.3 (56.3, 92.5)
NPV (%)	58.5 (43.3, 74.4)	89.6 (77.3, 96.5)	93.1 (83.3, 98.1)
<b>Only patients with HCV</b>			
Cutoff ARFI velocity (m/sec)	1.35	1.55	1.75
Sensitivity (%)	72.9 (58.2, 84.7)	81.5 (61.9, 93.7)	88.9 (65.3, 98.6)
Specificity (%)	93.8 (89.8, 99.8)	91.9 (78.1, 98.3)	89.1 (76.4, 96.4)
PPV (%)	97.2 (85.5, 99.9)	88.0 (68.8, 97.5)	76.2 (52.8, 91.8)
NPV (%)	53.6 (33.9, 72.5)	87.2 (72.6, 95.7)	95.3 (84.2, 99.4)

Note.—Numbers in parentheses are 95% confidence intervals. NPV = negative predictive value; PPV = positive predictive value.

L' imaging con ARFI è un metodo promettente per la valutazione della fibrosi nell'epatite virale cronica, con accuratezza diagnostica comparabile a quella della TE.

*M.Friedrich-Rust et al.  
Radiology: Volume 252: n.2 – Aug 2009*

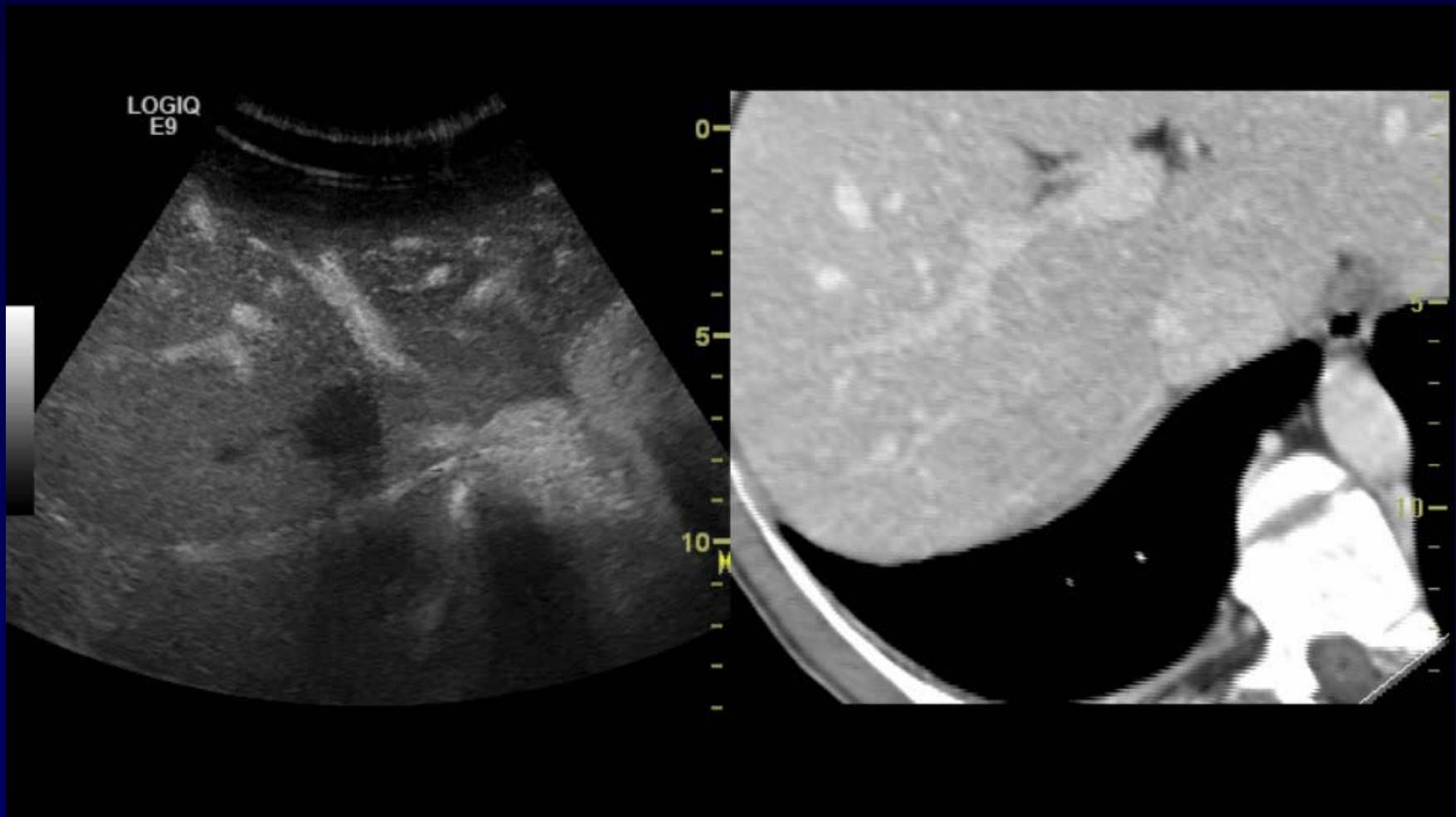
# FUSION IMAGING



Fusione di immagini  
RM/TC con ecografia

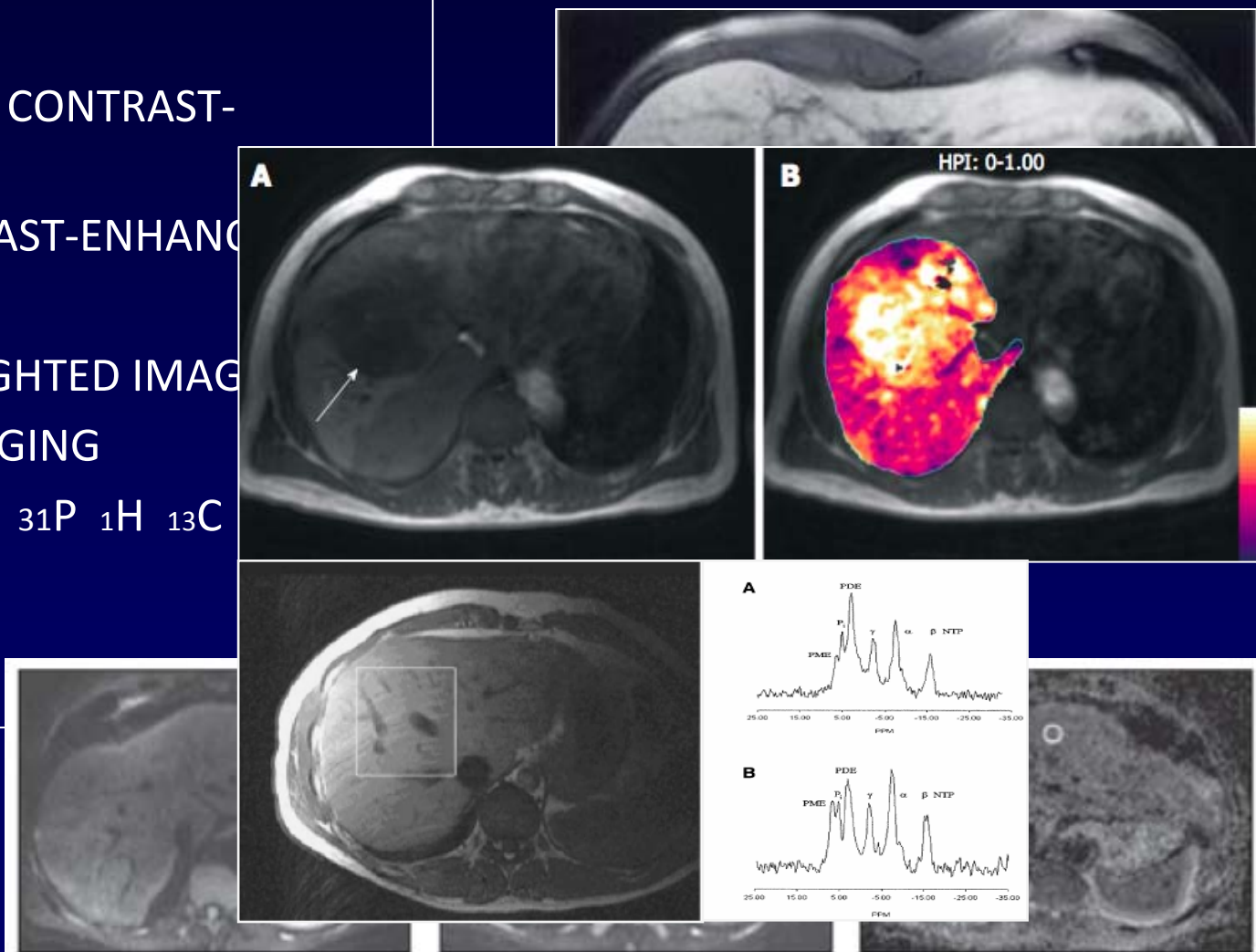
Un sistema di sensori e campi magnetici consente la perfetta sovrapposizione delle immagini in tempo reale

# FUSION IMAGING



# MAGNETIC RESONANCE

- CONVENTIONAL CONTRAST-ENHANCEMENT
- DOUBLE CONTRAST-ENHANCEMENT
- ELASTOGRAPHY
- DIFFUSION WEIGHTED IMAGING
- PERfusion IMAGING
- SPECTROSCOPY  $^{31}\text{P}$   $^1\text{H}$   $^{13}\text{C}$



# US - LESIONI FOCALI

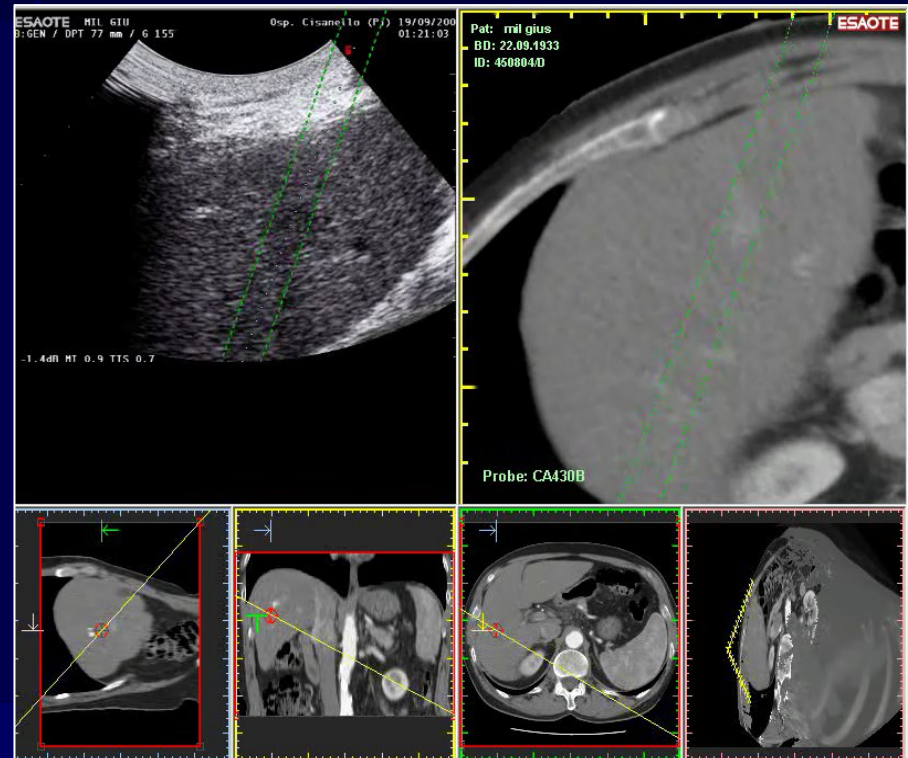
1. *INDIVIDUAZIONE (DETECTION)*
2. *ANALISI MORFOSTRUTTURALE (ECOSTRUTTURA)*
3. *DIMENSIONI*
4. *VASCOLARIZZAZIONE MACROCIRCOLO (CD-PD)*



**TIPIZZAZIONE ?**

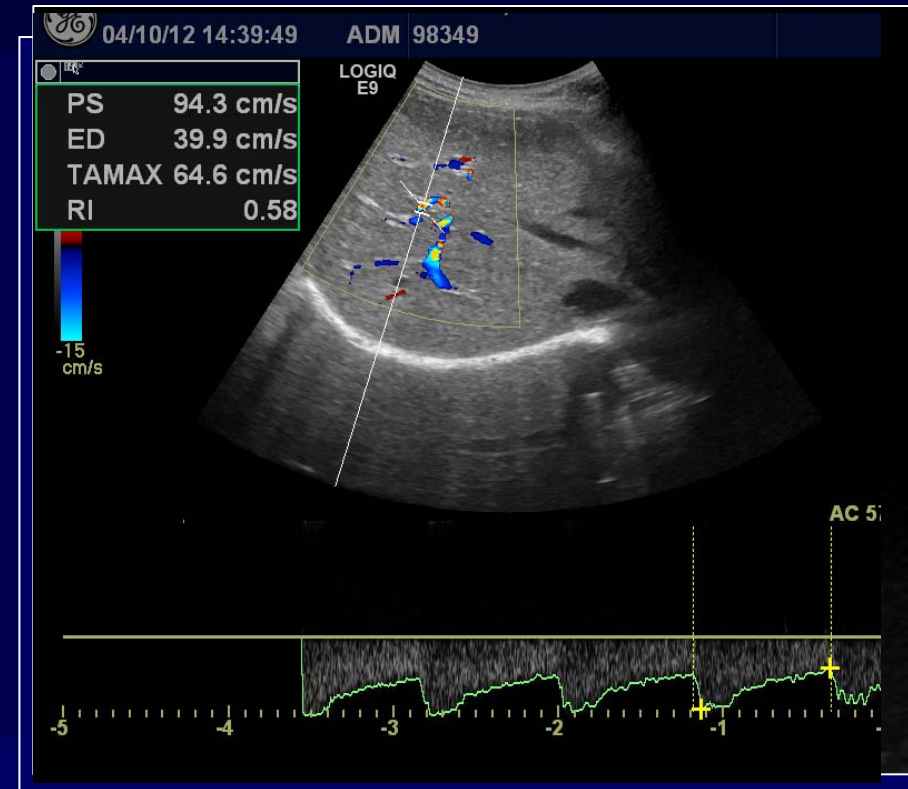
# INDIVIDUAZIONE

- Segmenti poco accessibili
- Ecostruttura disomogenea  
(pseudonodulare/nodulare)
- Ecostruttura accentuata  
(steatosi-fibrosi)



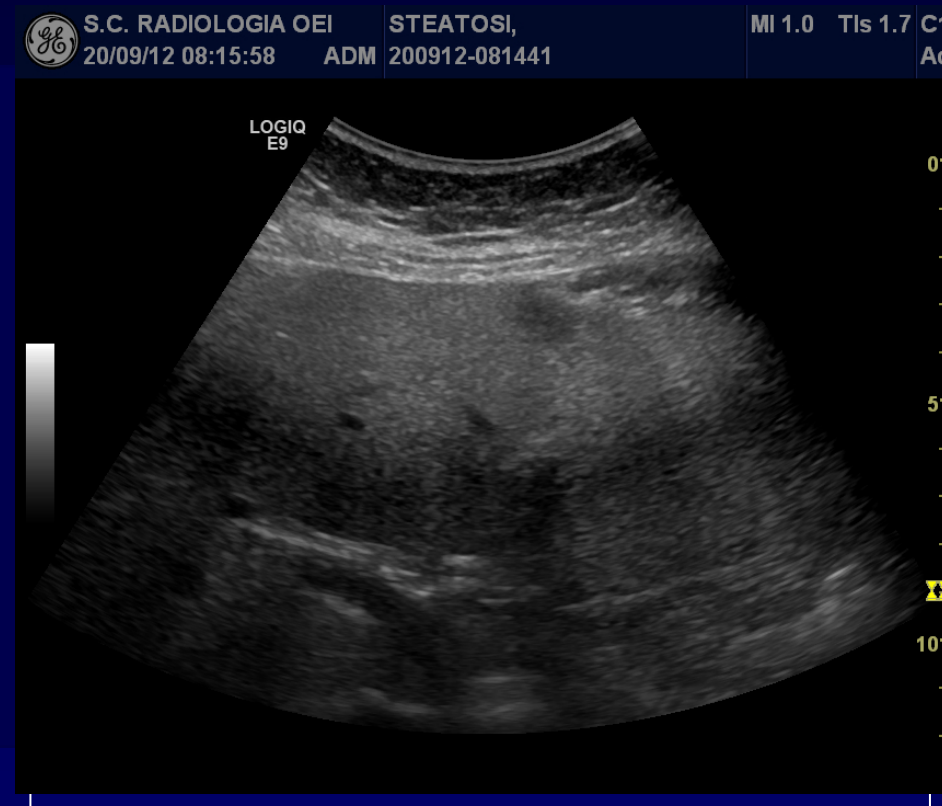
# INDIVIDUAZIONE

- Segmenti poco accessibili
- Ecostruttura disomogenea (pseudonodulare/nodulare)
- Ecostruttura accentuata (steatosi-fibrosi)



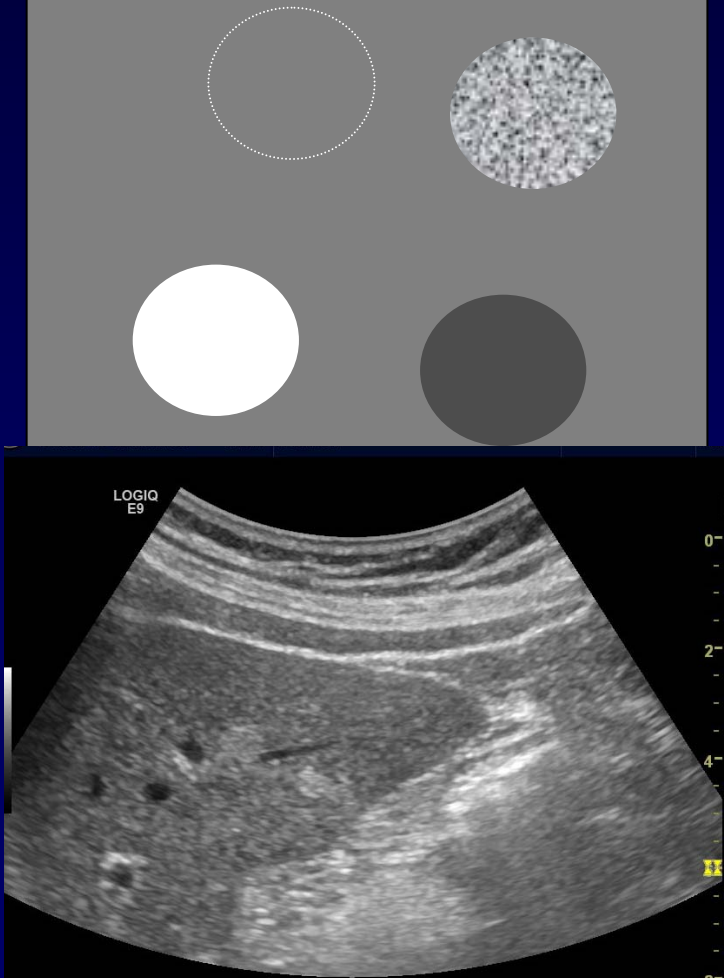
# INDIVIDUAZIONE

- Segmenti poco accessibili
- Ecostruttura disomogenea (pseudonodulare/nodulare)
- Ecostruttura accentuata (steatosi-fibrosi)



# SEMEIOTICA ECOGRAFICA

## NODULI



### Tumoral lesions

- 1) Hepatocellular  
Adenoma  
Macroregenerative nodules<sup>a</sup>  
Focal nodular hyperplasia<sup>a</sup>  
Adenomatosis  
Nodular regenerative hyperplasia<sup>b</sup>
  - 2) Biliary  
Cholangiocellular adenoma (or peribiliary duct hamartoma)  
Bile-duct cystadenoma  
Papillomatosis<sup>c</sup>
  - 3) Stromal  
Angiomyolipoma  
Angiomyelolipoma  
Benign hemangioendothelioma  
Hemangioma  
Infantile hemangioma  
Inflammatory pseudotumor<sup>a</sup>  
Isolated hepatic splenosis<sup>a</sup>  
Lymphangioma  
Leiomyoma  
Lipoma  
Mesenchymal hamartoma<sup>a</sup>  
Pseudolipoma<sup>a</sup>  
Peliosis hepatis<sup>a</sup>  
Schwannoma  
Solitary necrotic nodule<sup>a</sup>
- Pseudotumors  
Focal fatty sparing  
Focal fatty change

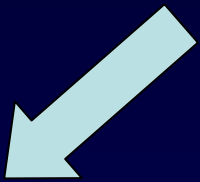
<sup>a</sup> These lesions are not neoplastic.

<sup>b</sup> May cause portal hypertension leading up to orthotopic liver transplant in selected cases.

<sup>c</sup> This type of lesion is a benign tumor of the liver but does not show as a focal liver lesion, but rather with signs related to bile-duct obstruction.

# ECOSTRUTTURA MACROVASCOLARIZZAZIONE (CD-PD)

**NO TIPIZZAZIONE !**



valutazione MICROCIRCOLO

**TIPIZZAZIONE**

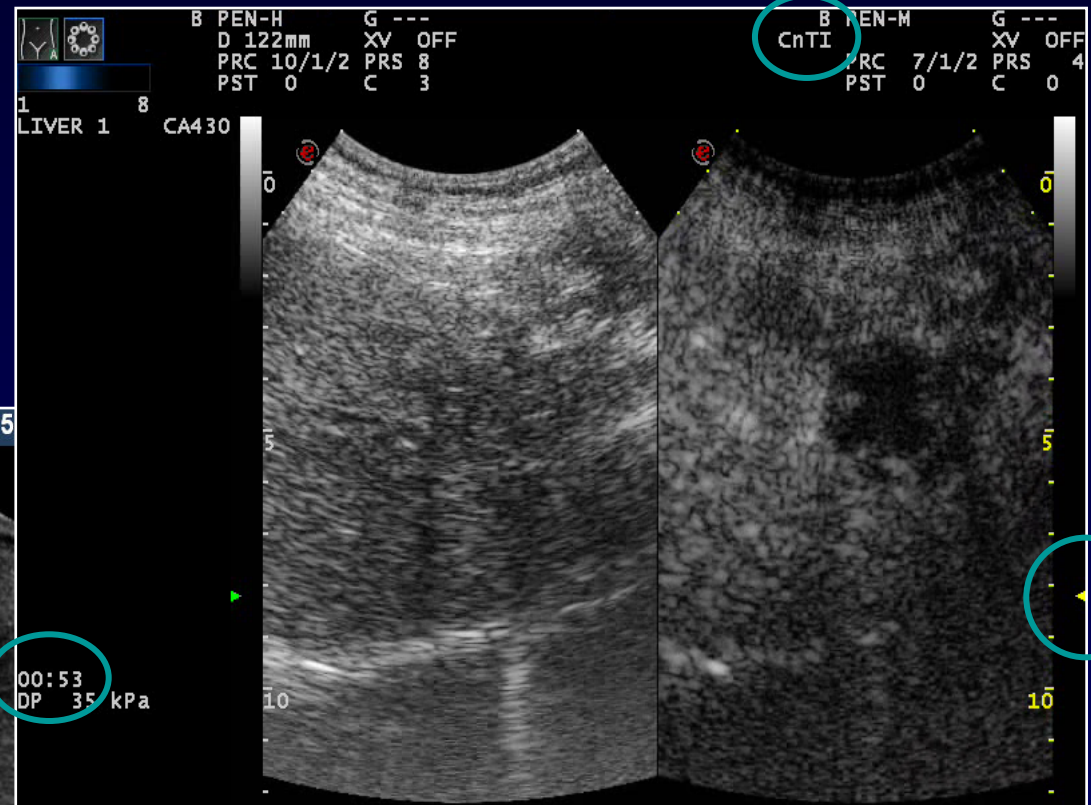
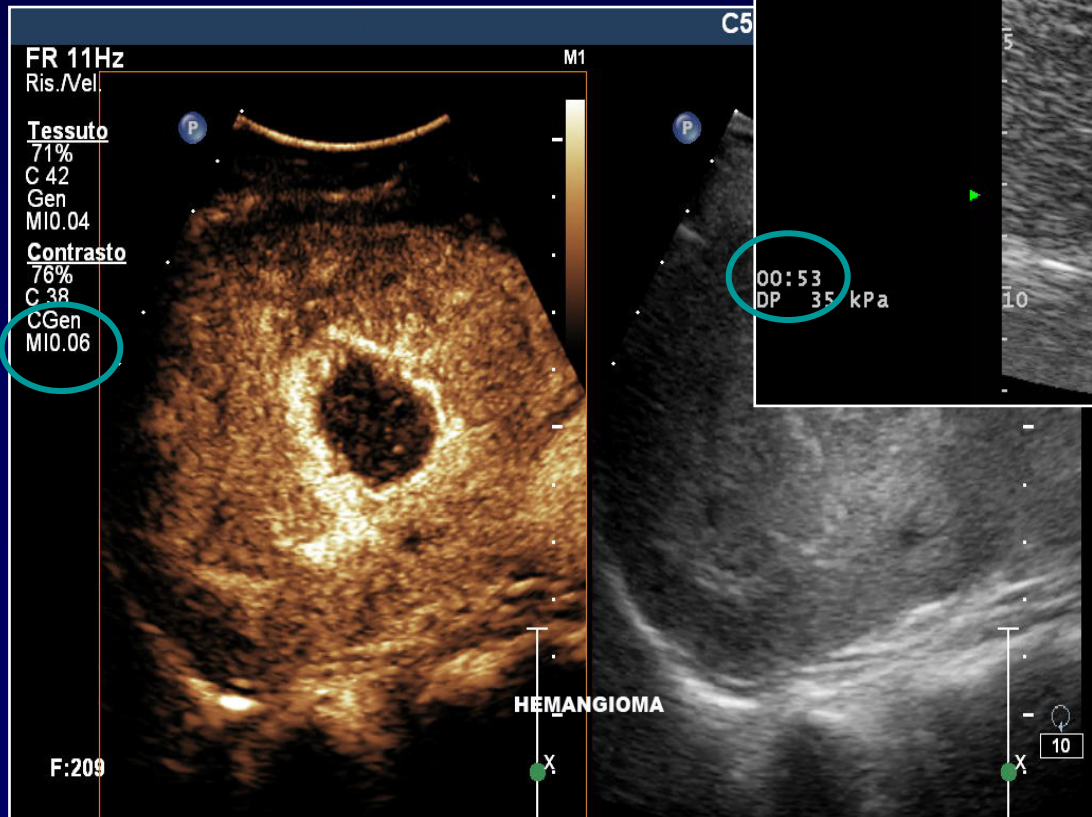
4phase-CT

CEUS

Dynamic-ceMRI

# CEUS

- Dedicated software  
(Power Modulation,  
Pulse Inversion)

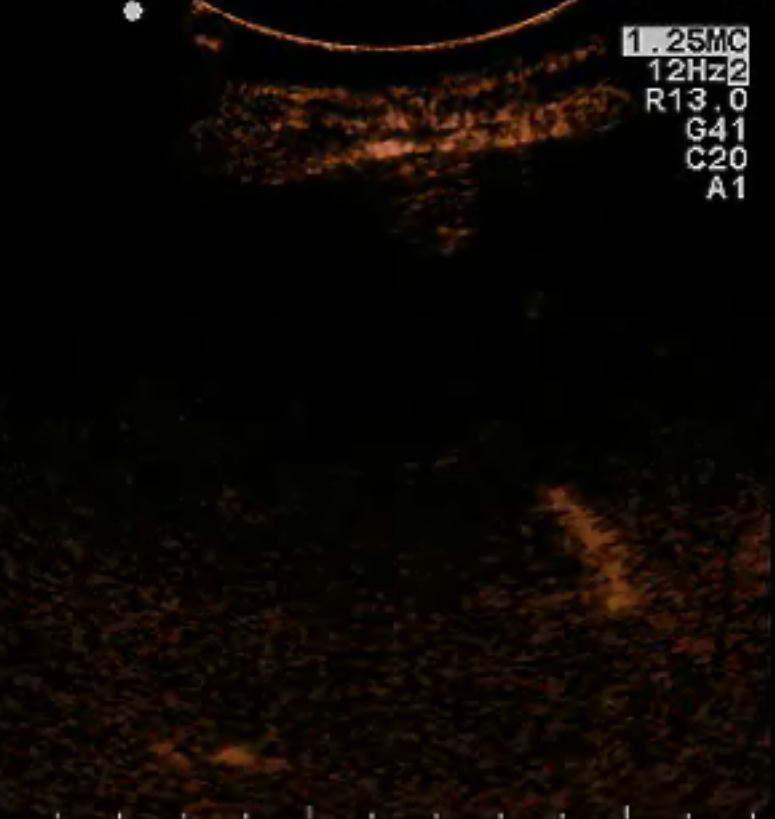


- Video registration
- Contrast side/side
- Timer

TIME 00:00:16

MI (Mon) < 0.04

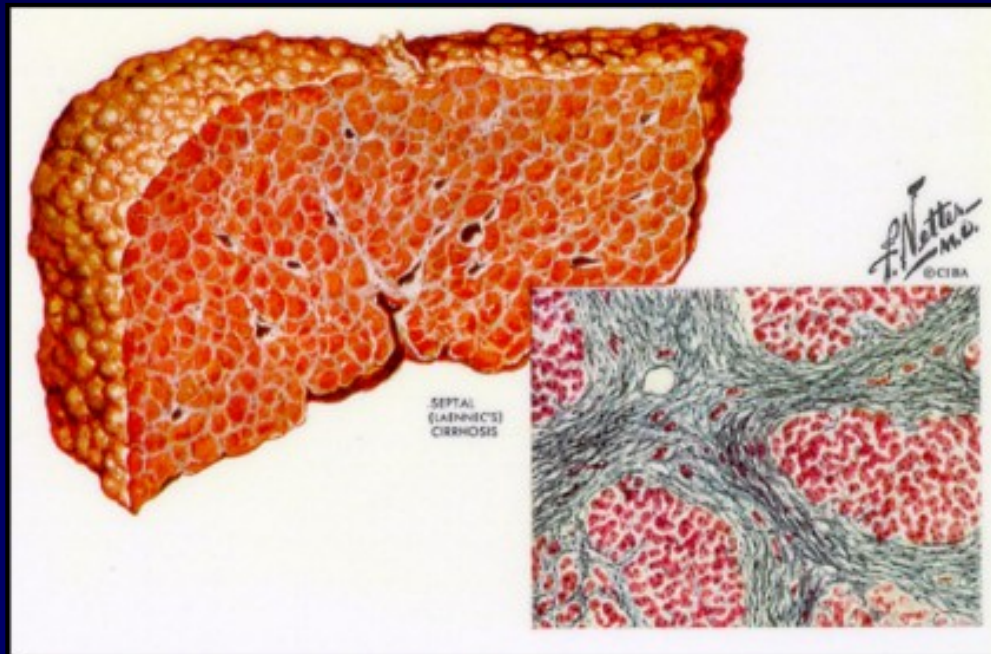
A: \*\*\*.\*\*S \*\*\*f  
MI = 0.06 TIS < 0.4 19%



6:AddContr@1.25N Probe:9130

# CIRROSI

- *Definizione:* epatopatia cronica caratterizzata da necrosi parenchimale diffusa, fibrosi e rigenerazione nodulare del parenchima stesso
- *Anatomia Patologica:* micronodulare (noduli<3mm), macronodulare (>3 mm fino a parecchi cm)

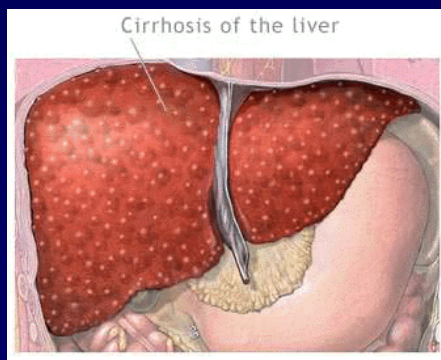


# CIRROSI

## NODULI



- Noduli di Rigenerazione ( LR )
- Noduli Displastici
  - LGDN
  - HGDN
- Nodulo in Nodulo
- HCC ( nei vari gradi di differenziazione)



FR 24

0-	CHI	4.0
-	Frq	47
-	Gn	47
-	S/A	1/1
-	Mappr	F/0
-	D	16.0
-	DR	72
-	AO%	100

5-

-

-

-

-

-

-

10-

-

-

-

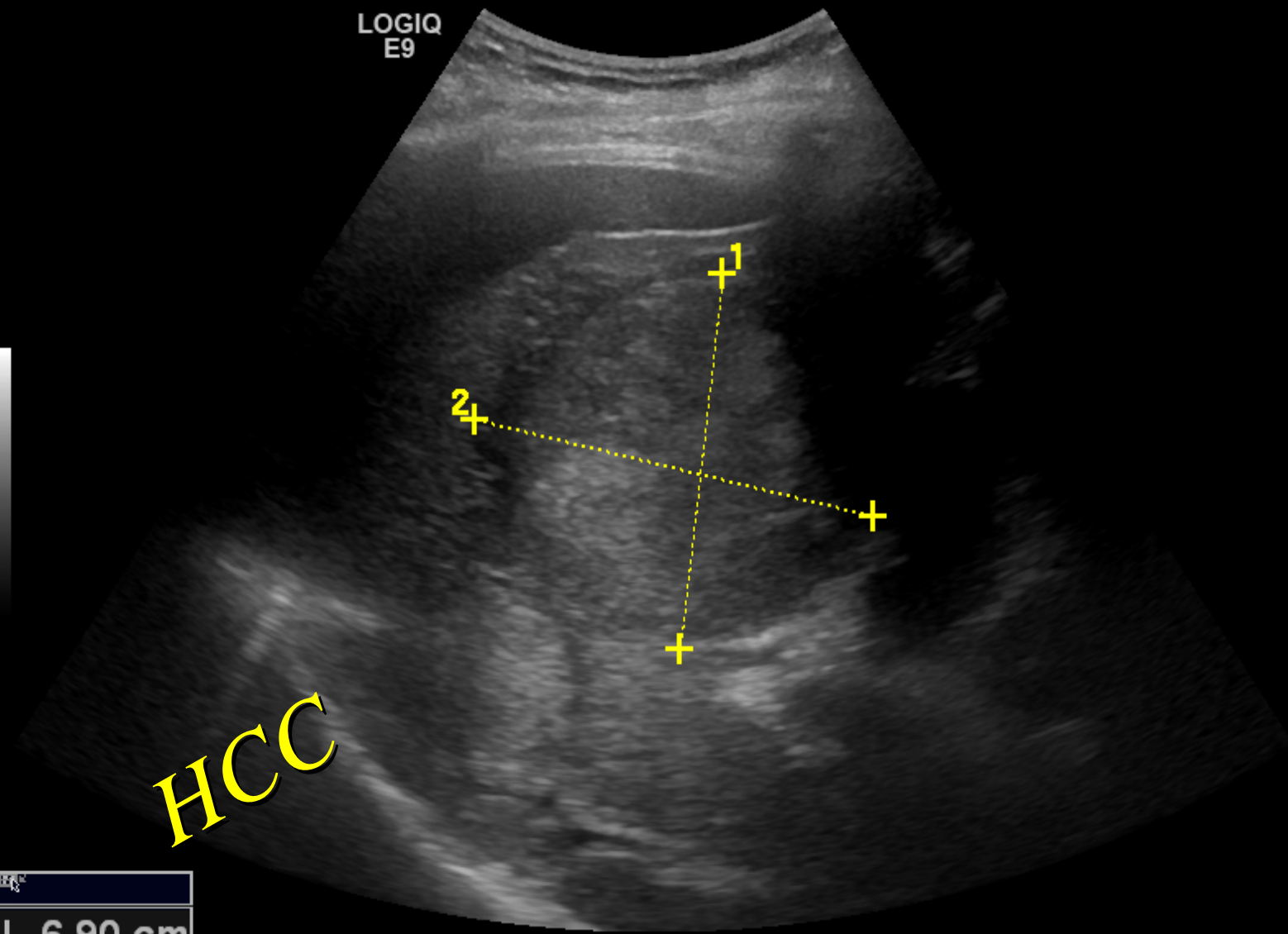
-

-

-

15-

-



1 L 6.90 cm

2 L 7.48 cm

AH



Portal Vein

Artery

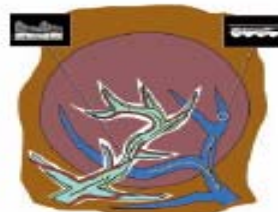
HCC



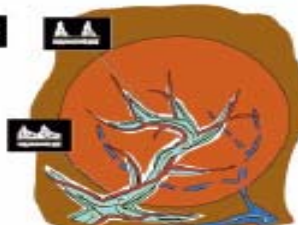
Portal Vein

Artery

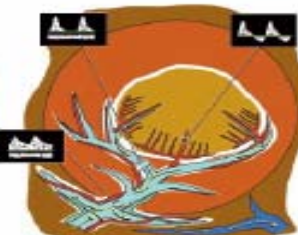
1. Adenomatous hyperplasia  
Early HCC



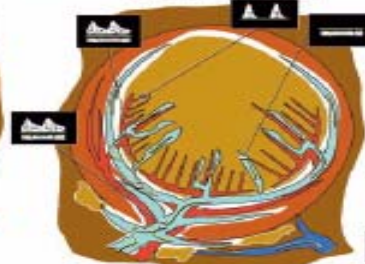
2. Advanced HCC  
(well-differentiated HCC)



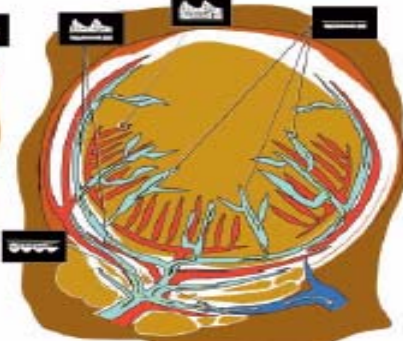
3. Advanced HCC  
(moderate-differentiated HCC)



4. Advanced HCC  
(moderate-poorly-differentiated HCC)

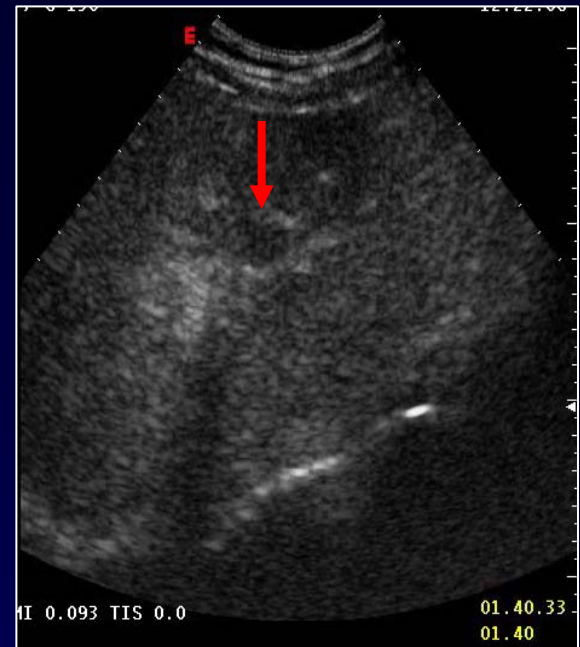
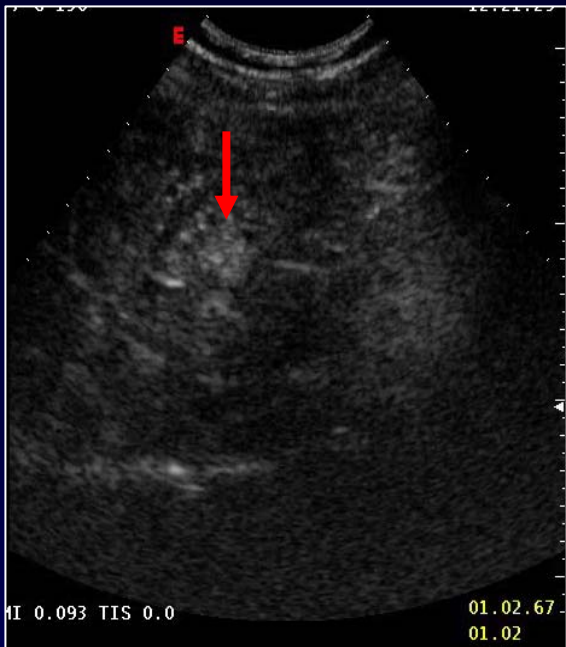
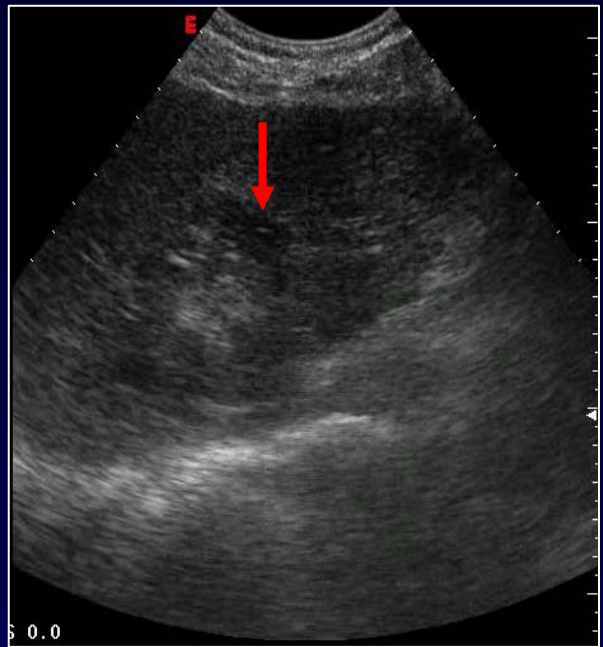


5. Advanced HCC  
(poorly-differentiated HCC)



Fibrous tissue  
Artery

Bile duct  
Portal vein or Tumor draining vessel



# Dysplastic nodules in liver cirrhosis: imaging

J.H.Lim,B.I.Chi Abdominal Imaging 2002, 27:17-128

- arterie anomale
  - LGDN 18%
  - HGDN 53 %
  - HCC 92 %

LA QUANTIFICAZIONE ARTERIOSA  
PUO ESSERE UNO STRUMENTO DI  
DIAGNOSI PRECOCE

# The Vascular Profile of regenerative and Dysplastic Nodules of The Cirrhotic Liver: Implications for Diagnosis and Classification

M.Roncalli et Al. Hepatology Vol 30, No 5, 1999

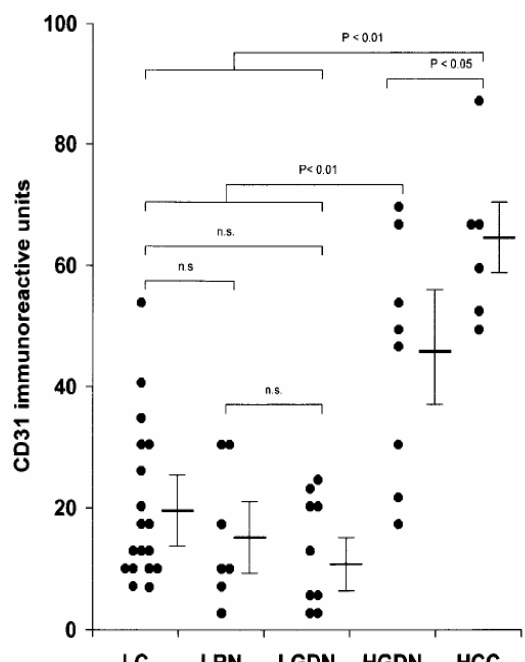


FIG. 2. Semiquantitative assessment of CD31-immunoreactive capillary units in liver cirrhosis (LC), LRNs, LGDNs, HGDNs, and HCCs.

CD31 unita capillari

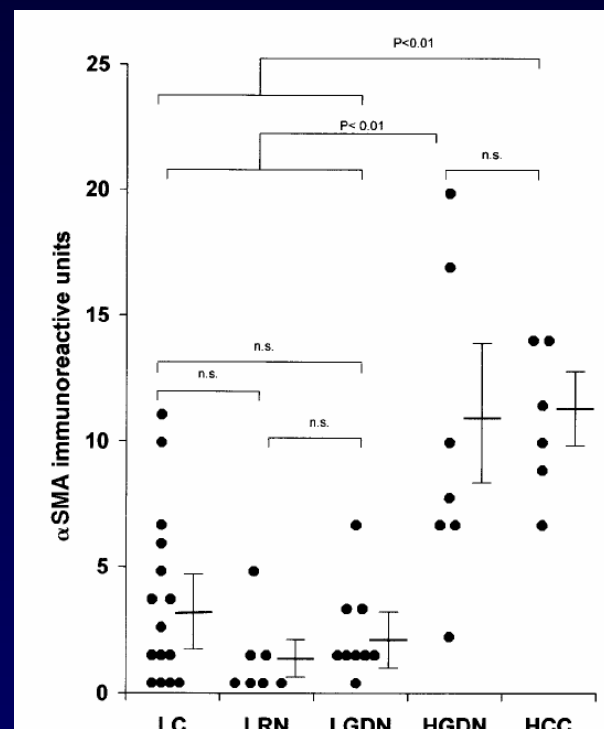


FIG. 4. Semiquantitative assessment of αSMA-immunoreactive unpaired arteries in liver cirrhosis (LC), LRN, LGDN, HGDN, and HCC.

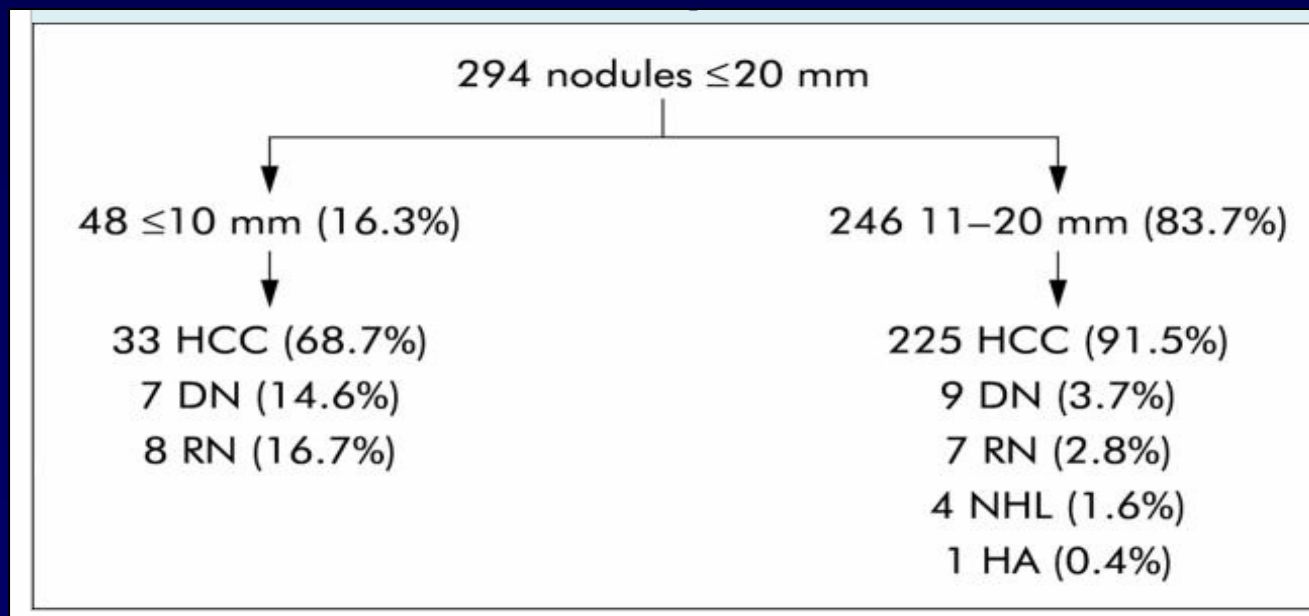
aSMA unpaired arteries

# Ultrasound Guided Fine Feedle Biopsy of Early Hepatocelluar Carcinoma in Cirrhosis.Multicentre Study.

Caturelli et all.Gut 2004;53:1356-1362

## 688 noduli

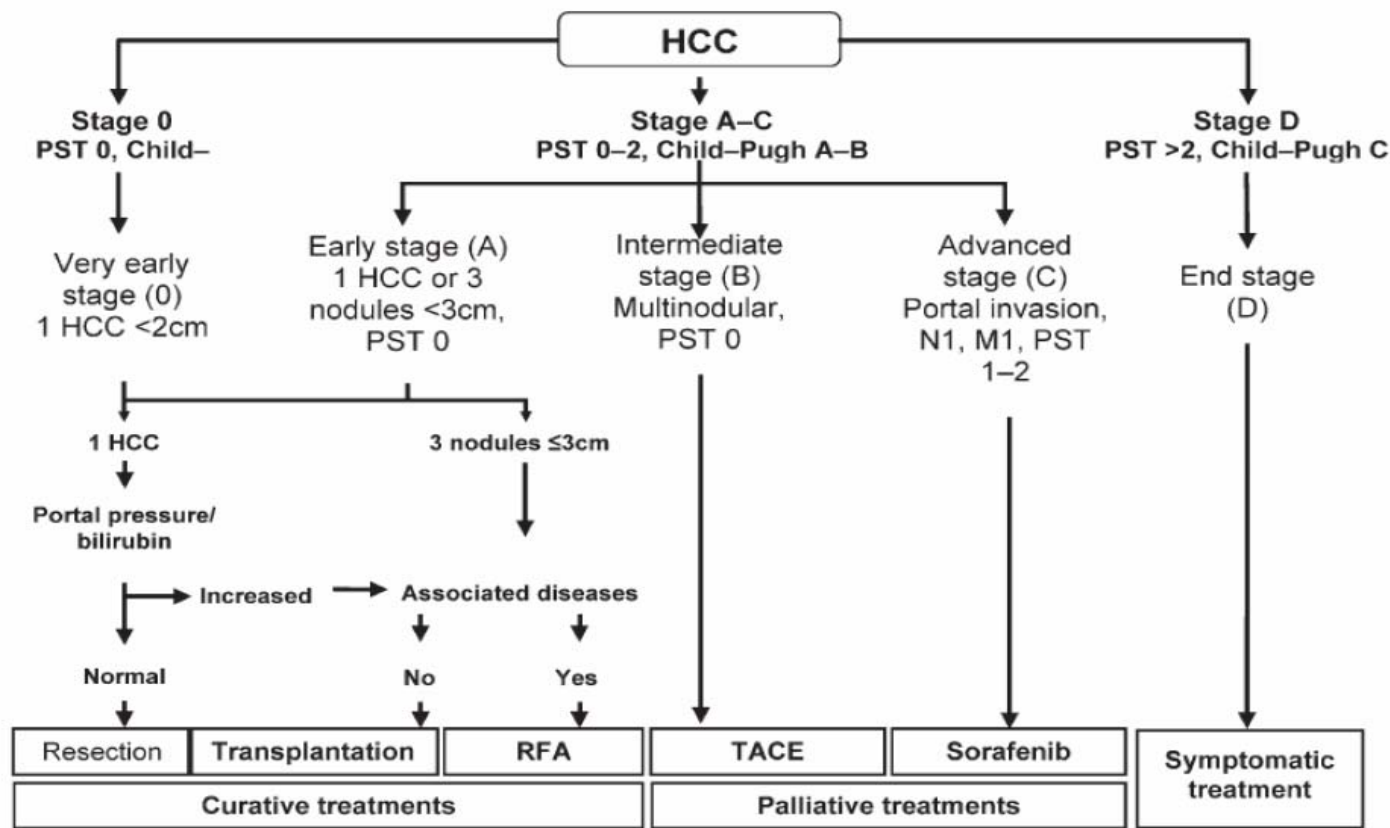
$N > 30\text{mm}$  (94,9 %)  $\longrightarrow$  HCC  
 $21 < N < 30$  (97,1 %)  $\longrightarrow$  HCC





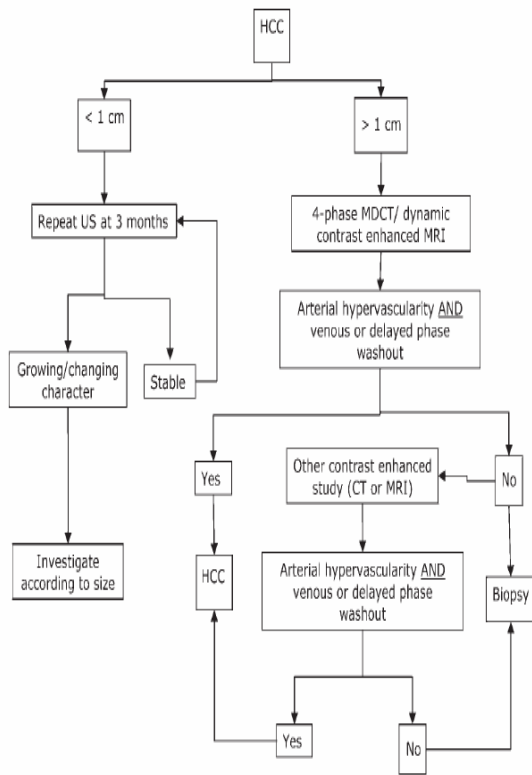
## Raccomandazioni AISF per la gestione integrata del paziente con Epatocarcinoma

**Scheda 3.** Sistema di stadiazione secondo Barcelona Clinic Liver Cancer (BCLC) per il paziente con HCC (tratto dalla voce bibliografica 1).



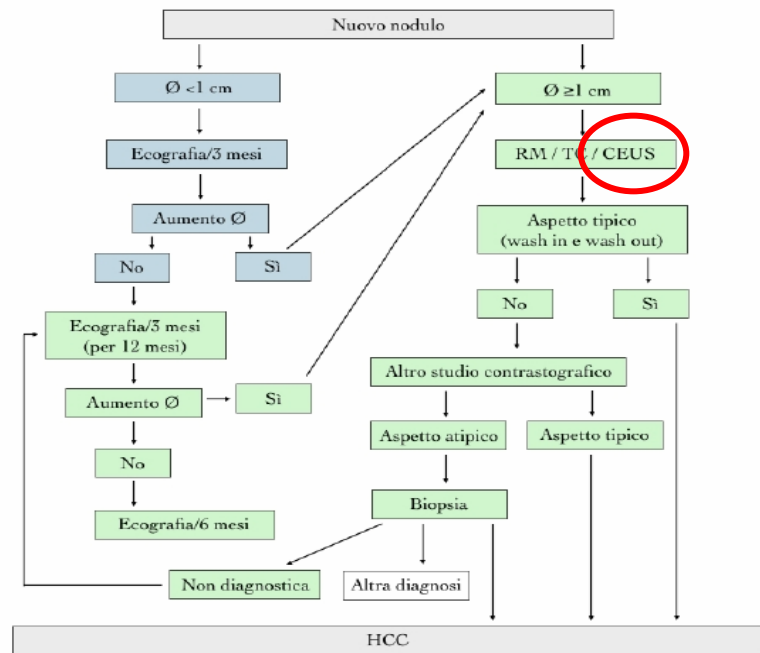
10 BRUIX AND SHERMAN

HEPATOS, July 2010



Raccomandazioni AISF per la gestione integrata del paziente con Epatoepatocarcinoma

**Scheda 2.** Algoritmo diagnostico per nodule  $\geq 1$  cm rilevato durante sorveglianza ecografica nel paziente con cirrosi (modificato dalla voce bibliografica 1).



Rispetto alle AASLD Practice Guidelines 2010 (1), l'algoritmo proposto:

- 1) contempla anche la CEUS fra le tecniche di diagnosi per immagini utilizzabili ai fini diagnostici
- 2) predilige la sorveglianza trimestrale (invece che lasciare spazio a un programma semestrale o trimestrale, a scelta del clinico) per i primi 12 mesi, nel caso di nodule < 1 cm o nodule atipico.

# Diagnosis of Hepatic Nodules 20 mm or Smaller in Cirrhosis:Prospective Validation of the Noninvasive Diagnostic Criteria for Hepatocellular Carcinoma

A Forner J.Bruix Hepatology, January 2008

- Noduli con vascolarizzazione atipica possono essere HCC
- HCC > 2 cm invasione pericapsulare, vascolare e noduli satelliti
- Attualmente nessuna metodica permette diagnosi precoce

Il futuro:

- Strumenti basati sull' immunostochimica (HSP70,CAP2)
- valutazione genetica
- profilo proteico sierico ed istologico

Oltre: biopsia !!!



# GRAZIE

